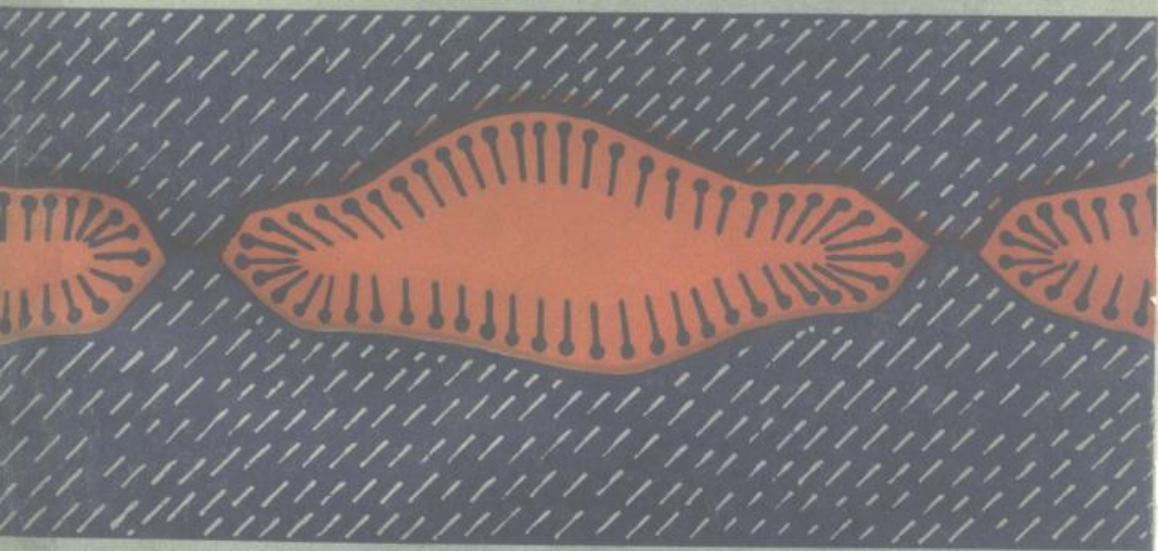


固体的摩擦与润滑

续篇

THE FRICTION AND
LUBRICATION OF
SOLIDS PART II



[英] F. P. 鲍登
D. 泰伯 著

机械工业出版社

固体的摩擦与润滑 (续篇)

[英] F. P. 鲍登 D. 泰伯 著

袁汉昌 张绪寿 **陈绍澧** 译

余志英 校



机械工业出版社

2006/12

一九八二年我社出版了译著《固体的摩擦与润滑》，本书是它的续篇，也是一本实验研究专著。

本书进一步介绍了有关固体摩擦研究的新技术和新成果。书中除介绍金属材料的摩擦外，还详细地介绍了非金属材料（脆性的、坚硬的、层状结构的、弹性或塑性的）的摩擦特性；讨论了边界润滑与润滑剂单分子层的结构和作用；特殊条件（高温、高速、高应变率）下的摩擦；滚动摩擦和粘着机理；压痕与划痕硬度的物理意义等。

本书由邵荷生教授对大部分译文再次进行了审校。

本书可供从事科研、生产、教学的科技人员及大专院校师生参考。

The Friction and Lubrication
of Solids

by F. P. Bowden and D. Tabor

Part I

Oxford

at the Clarendon Press

1964

* * *

固体的摩擦与润滑（续篇）

〔英〕 F. P. 鲍登 D. 泰伯 著

袁汉昌 张绪寿 **陈绍澧** 译

余志英 校

*

机械工业出版社出版（北京阜成门外百万庄南里一号）

（北京市书刊出版业营业许可证出字第 117 号）

机械工业出版社印刷厂印刷

新华书店北京发行所发行·新华书店经售

*

开本 787×1092^{1/32}·印张 20^{5/8}·字数 449 千字

1986 年 9 月北京第一版·1986 年 9 月北京第一次印刷

印数 0,001—3,500·定价 4.85 元

*

统一书号：15033·5764

前 言

我们在 1950 年写过一本介绍在固体表面间接触和滑动过程中所发生的物理过程以及摩擦和边界润滑机理探讨的实验研究专著——《固体的摩擦与润滑》(于 1954 年再版)。在这头一本专著中(现称为第一册)着重介绍了金属表面的性状。它表明了金属表面间的接触仅仅发生在若干小的局部区域,因而摩擦性状可以用在这些微小的界面结点的形成和相继的剪切来解释。此外,摩擦的另一组成部分来自滑动表面的变形、挖沟和刨削。

我们一直在继续进行这方面的探讨,本书就是介绍其后的研究工作,所以是第一册的续篇。虽然每本书的内容可以分开来阅读,但两者又成为一个整体。本书除了讨论在金属上所做的进一步研究工作以外,还较详尽地讨论了非金属固体的摩擦性状,它表明了因表面变形导致的能量损耗可以成为总摩擦损耗的一大部分——特别是在滚动摩擦和某些类型的滑动摩擦上更是如此。诚然,在这种状态下,用固体物质的粘—弹性来描述其摩擦性状是可能的。

库伦在讨论摩擦的各种可能机理时断言“只有实验才能定论”,因而在本书中所强调的也是实验的手段。除了在摩擦方面的研究外,书中还探讨了与固体接触和变形有关的几个其他物理过程。这些物理过程包括:固体表面的本性和结构;固体颗粒的大小和其表面缺陷对其强度性质的影响;收窄作用在导体的电性质上的效应和它在接触电阻上所起的作用;

粘着作用机理；压痕及划痕硬度的物理意义；分子平表面的接触状态；表面力的作用范围；在高应变速率下固体的变形；因液体撞击导致的固体的蚀损等。

首先，我们对过去和现在的同事和学生为完成本书所作的贡献表示感谢。由于他们为数众多，在此无法一一列举，但在正文中都提到了。我们还对协助我们整理手稿的 E. L. 摩里斯和克莱连顿出版社，特别是对 A. M. 伍德的制版技巧和耐心的合作表示谢意。

我们要对 N. 马特教授的支持和鼓励，对 O. 文斯博路琼思、R. 科克波恩爵士、H. 瑟顿及 N. J. L. 麦逊博士对我们的工作不断给予关怀表示感谢。也要感谢皇家学会的慷慨协助和航空局及科学与工业研究处的大力帮助。

F. P. 鲍 登

D. 泰 伯

剑桥·卡文迪茨研究所

固体物理及化学研究室

一九六三年元月

目 录

前言

| | |
|---------------------------|----|
| 绪言 | 1 |
| 第一章 固体表面 | 6 |
| 反射电子显微术 | 6 |
| 扫描电子显微镜 | 8 |
| X-射线扫描显微分析仪 | 11 |
| 电子衍射法 | 12 |
| 场发射显微术 | 15 |
| 高分辨率电子显微术 | 16 |
| 1. 晶格的分辨 | 16 |
| 2. 高聚物分子的观察 | 18 |
| 3. 裂变碎片形成的轨迹 | 21 |
| 波纹 (云纹边 Moire' Fringe) 技术 | 21 |
| 表面形貌的美饰 | 24 |
| 固体表面的外观 | 26 |
| 在空气中的金属表面 | 27 |
| 机械加工的表面 | 27 |
| 增补 | 28 |
| 参考文献 | 29 |
| 第二章 尺寸大小和表面结构对固体强度的影响 | 32 |
| 玻璃及其他非金属纤维的强度 | 33 |
| 一些非金属须的生长特征和强度性质 | 37 |
| 生长台阶是应力集中的源泉 | 37 |
| 金属须的强度 | 41 |

| | |
|----------------------------------|----|
| 表面活性物质对金属强度的效应 | 43 |
| 固体的摩擦磨损的含义 | 44 |
| 参考文献 | 45 |
| 第三章 金属的接触 | 48 |
| I. 尘埃对固体接触的影响 | 48 |
| 表面光洁度和颗粒大小的效应 | 50 |
| 负荷的效应 | 51 |
| 颗粒相对硬度的效应 | 53 |
| 颗粒污染的效应 | 53 |
| II. 电流对金属接触的影响 | 54 |
| III. 贵金属的摩擦与导电性及加工硬化表面层的效应 | 57 |
| 金的表面 | 58 |
| 铂 | 60 |
| 银和钯 | 61 |
| IV. 贱金属的摩擦与导电性氧化物层的效应 | 61 |
| 铟和锡 | 61 |
| 铅 | 62 |
| 铝 | 63 |
| 铜 | 64 |
| 钢 | 65 |
| 铬 | 68 |
| 异类金属 | 69 |
| 氧化物膜对金属摩擦的效应 | 70 |
| 结论 | 72 |
| 参考文献 | 73 |
| 第四章 金属摩擦的机理：综合应力与表面污染的作用 | 74 |
| 切向力在金属物体接触中的效应 | 78 |
| 方法 | 79 |

| | |
|--------------------------------|------------|
| 位移 | 80 |
| 接触导电率 | 82 |
| 位移的可逆性 | 85 |
| 润滑剂膜的效应 | 89 |
| 切向力在弹性地加载的物体上的效应 | 90 |
| 宏观滑动 | 95 |
| 结点生长的基本公式 | 97 |
| 宏观滑动的条件 | 99 |
| 粘—滑运动 | 103 |
| 弹性地加载表面的摩擦系数 | 105 |
| 扩展表面间的摩擦 | 107 |
| 加工硬化及延展性 | 109 |
| 结论 | 110 |
| 参考文献 | 112 |
| 第五章 洁净金属的粘着 | 115 |
| 仪器 | 116 |
| 彻底地净化对摩擦与粘着的效应 | 118 |
| 粘着力与切向力的关系 | 119 |
| 在升高温度下的粘着：延展性的效应 | 125 |
| 开始产生强力粘着时的温度 | 128 |
| 大型的模拟结点的性状 | 129 |
| 金属在空气中的粘着 | 131 |
| 金属粘着的一般机理 | 133 |
| 结论 | 136 |
| 参考文献 | 137 |
| 第六章 在机械加工过程中的金属转移 | 139 |
| 从铁锤上的转移 | 139 |
| 从钳子和夹子上的转移 | 140 |
| 从螺丝刀及扳手上的转移 | 141 |

| | |
|-----------------------------------|------------|
| 从刀头上的转移 | 143 |
| 从麻花钻上的转移 | 145 |
| 从铆机上的转移 | 145 |
| 向非金属材料上的转移 | 146 |
| 金属转移的意义 | 146 |
| 结论 | 148 |
| 参考文献 | 148 |
| 第七章 脆性固体的摩擦和粘着 | 150 |
| 岩盐的摩擦 | 151 |
| 岩盐的变形性质 | 151 |
| 在压缩状态时的应力—应变曲线 | 155 |
| 岩盐的压痕硬度 | 157 |
| 摩擦轨道的塑性变形 | 158 |
| 岩盐的粘着 | 160 |
| 摩擦、变形和粘着 | 161 |
| 其他脆性材料的摩擦 | 163 |
| 参考文献 | 164 |
| 第八章 冰及固态氮的摩擦、粘着和变形性质 | 166 |
| I. 冰的粘着和强度性质 | 166 |
| 粘着的测量 | 167 |
| 初步试验：残余应力与剪速 | 167 |
| 冰对洁净金属表面的粘着 | 169 |
| 冰中的蠕变 | 170 |
| 表面沾染在不锈钢上的效应 | 171 |
| 对高聚物的粘着 | 173 |
| 溶解盐类在冰的粘着上的效应 | 175 |
| 冰对金属和塑料的粘着 | 178 |
| I. 冰的摩擦 | 179 |
| 冰的摩擦与粘着 | 182 |

| | |
|-----------------------------|-----|
| Ⅰ. 固体氮的摩擦与变形 | 183 |
| 摩擦结果 | 184 |
| 硬度 | 185 |
| 摩擦与剪切强度 | 187 |
| 固态氮的摩擦性状 | 187 |
| 参考文献 | 188 |
| 第九章 雪橇在雪和冰上的摩擦 | 190 |
| 雪橇在雪和冰上的静摩擦 | 190 |
| 在雪和冰上的动摩擦 | 193 |
| 用雪橇作滑雪实验 | 194 |
| 硬度随温度及速度的变化 | 195 |
| 接触角及润湿的影响 | 198 |
| 结论 | 200 |
| 参考文献 | 201 |
| 第十章 金刚石的变形与摩擦 | 202 |
| 金刚石的表面能 | 203 |
| 球形压头使金刚石产生的变形 | 205 |
| 在冲击下裂纹的形成——温度和反复冲击的效应 | 207 |
| 在滑动中形成裂纹的临界负荷 | 208 |
| 金刚石中的塑性流动 | 211 |
| 金刚石在空气中的摩擦和表面损坏 | 214 |
| 定向作用的效应 | 216 |
| 金刚石在真空中在低负荷下的摩擦 | 219 |
| 金刚石在空气中在较高负荷下的摩擦和表面损坏 | 220 |
| 金刚石的磨损和磨蚀 | 224 |
| 金刚石在玻璃上的滑动 | 226 |
| 在极高速度下金属在金刚石上的滑动 | 230 |
| 金刚石的摩擦与磨损 | 233 |
| 参考文献 | 234 |

| | |
|-----------------------------------|-----|
| 第十一章 层状结构固体的摩擦 | 237 |
| I. 石墨 | 237 |
| 结构和变形性质 | 237 |
| 石墨在空气中的摩擦和变形 | 238 |
| 洁净的石墨在室温及高温下的摩擦 | 239 |
| 表面膜对石墨的摩擦的影响 | 241 |
| 石墨的摩擦机理 | 243 |
| II. 氮化硼 | 244 |
| 氮化硼在空气中的摩擦 | 245 |
| 脱气氮化硼的摩擦 | 246 |
| III. 二硫化钼 | 248 |
| MoS ₂ 在空气中的摩擦 | 249 |
| 蒸汽对 MoS ₂ 的摩擦的影响 | 249 |
| MoS ₂ 在真空中的摩擦 | 249 |
| MoS ₂ 的摩擦机理 | 250 |
| IV. 云母 | 251 |
| 云母在空气中的摩擦 | 252 |
| 云母和滑石 | 255 |
| 层状结构固体的摩擦性质 | 256 |
| 参考文献 | 257 |
| 第十二章 层状结构固体的润滑膜 | 259 |
| I. 层结构固体覆盖薄膜的性状 | 259 |
| 表面的电子衍射和显微研究 | 260 |
| 摩擦结果 | 260 |
| 石墨 | 260 |
| 二硫化钼 | 263 |
| 氮化硼 | 263 |
| 氮化硼及石墨膜 | 265 |
| 滑石 | 265 |

| | |
|-------------------------|-----|
| 摩擦轨痕 | 267 |
| 擦涂层的作用 | 267 |
| I. 化学生成膜 | 268 |
| 铝及铀 | 268 |
| 硼 | 269 |
| 钛 | 269 |
| 铬及碳化钨 | 269 |
| 气相生成的层结构膜的作用 | 269 |
| 参考文献 | 270 |
| 第十三章 聚合物材料的摩擦和变形 | 272 |
| 界面的剪切强度 | 272 |
| 温度的效应 | 274 |
| 聚四氟乙烯的摩擦 | 274 |
| 聚四氟乙烯轴承 | 277 |
| 负荷在聚合物摩擦上的效应 | 278 |
| A 随 V 变化的实验研究 | 281 |
| 说明接触面积随负荷变化的理论模型 | 283 |
| 聚合物的变形性质和摩擦 | 287 |
| 聚合物的变形 | 289 |
| 曲率的效应 | 290 |
| 面积测量与摩擦结果的关联 | 291 |
| 加荷时间的效应 | 295 |
| 定向效应 | 296 |
| 静电效应 | 298 |
| 高速下的摩擦 | 298 |
| 聚合物在滑动中的表面损坏 | 299 |
| 聚合物摩擦的机理 | 302 |
| 参考文献 | 303 |
| 第十四章 弹性固体的摩擦 | 306 |

Ⅱ

| | |
|-------------------------|-----|
| I. 木材的摩擦 | 307 |
| 吸水作用 | 309 |
| 钢和聚四氟乙烯在湿胶枞木上的摩擦 | 310 |
| 木材的变形 | 313 |
| 硬球体在湿胶枞木上滚动 | 314 |
| 在湿木材上的滞后损耗 | 316 |
| 滚动摩擦的观测值及计算值间的定量关系 | 317 |
| 滑动中的界面粘附作用 | 319 |
| 在“干”木材上(含水量少于30%)的滑动与滚动 | 320 |
| 滚动摩擦 | 320 |
| 滑动摩擦: 钢表面 | 321 |
| 滑动摩擦: 聚四氟乙烯表面 | 322 |
| 在干木材上的润滑滑动 | 323 |
| 铁梨木的摩擦 | 323 |
| 木材在制纸浆时的变形与破碎 | 325 |
| 木材的摩擦机理 | 326 |
| II. 橡胶在有润滑时的摩擦 | 327 |
| 圆锥形滑块的摩擦 | 329 |
| 在有润滑的滑动中的剪切项 | 331 |
| 润滑膜的功效与滞后损耗 | 332 |
| 以较高速度在湿橡胶上的滑动 | 334 |
| 轮胎在湿路面上的打滑 | 336 |
| 路面凸体的性质 | 337 |
| 过热与自由滚动摩擦 | 338 |
| 一些轮胎的使用试验 | 341 |
| 轮胎的滞后作用与磨损 | 342 |
| 橡胶摩擦的粘附项 | 343 |
| 弹性固体的摩擦 | 343 |
| 参考文献 | 344 |

| | |
|---------------------------|-----|
| 第十五章 滚动摩擦的机理 | 346 |
| I. 金属在塑性范围内的滚动 | 347 |
| 仪器 | 347 |
| 第一个穿程 | 349 |
| 滚道的变形 | 351 |
| 在滚道上的反复穿程 | 353 |
| 平衡状态 | 355 |
| II. 金属在弹性范围内的滚动 | 357 |
| 无界面滑移的滚动 | 361 |
| 金属球在金属球上的滚动 | 361 |
| 经多次穿程后的平衡滚动状态 | 364 |
| III. 在弹性与粘弹性材料上的滚动 | 365 |
| 每单位滚动距离的弹性输入能量 | 366 |
| 雷诺氏滑移 | 371 |
| 球体在平橡胶板上的滚动 | 374 |
| 希思科特滑移 | 375 |
| 滚动中的滞后损耗 | 378 |
| 布契和福罗姆以及阿泰克等的分析 | 385 |
| IV. 金属在滚动中的滞后损耗 | 387 |
| 滞后损耗随应变的变化 | 390 |
| 滚动金属间的表面相互作用 | 392 |
| 球与滚子轴承的摩擦 | 393 |
| 参考文献 | 393 |
| 第十六章 固体的硬度 | 396 |
| 绪言 | 396 |
| I. 金属的压痕硬度 | 396 |
| 金属在单轴向拉伸或压缩作用下的变形性能 | 397 |
| 恒屈服应力材料的压痕 | 399 |
| 恒屈服应力材料的维氏硬度 | 400 |

XV

| | |
|----------------------------|------------|
| 几何相似性原理 | 401 |
| 显微硬度的测量 | 402 |
| 可加工硬化材料的维氏硬度 | 405 |
| 洛氏硬度试验中的圆锥形压头 | 406 |
| 布氏硬度的测量 | 407 |
| 压痕周围的变形 | 410 |
| 硬度压痕的弹性恢复 | 416 |
| I. 金属的压痕硬度与蠕变 | 417 |
| 温度效应 | 419 |
| 短加荷时间的效应 | 420 |
| II. 固体的划痕硬度 | 422 |
| 非金属的压痕、摩擦和划痕 | 422 |
| 金属的划痕硬度 | 425 |
| 固体的莫氏硬度与压痕硬度之间的关系 | 427 |
| 金属与非金属的硬度 | 428 |
| 参考文献 | 429 |
| 第十七章 固体的磨损 | 431 |
| 磨损定律 | 431 |
| 负荷效应：轻度和严重的磨损 | 431 |
| 严重磨损中结点的剪切 | 433 |
| 初生的磨屑特征 | 435 |
| 严重磨损中的磨损和转移 | 437 |
| 轻度磨损中的磨损和转移 | 439 |
| 环境效应 | 440 |
| 速度效应 | 442 |
| 磨料磨损 | 443 |
| 机械打磨及抛光表面的特征 | 447 |
| 磨损与磨料磨损 | 449 |
| 参考文献 | 449 |

| | |
|---------------------------|-----|
| 第十八章 边界润滑作用 | 452 |
| 金属的边界润滑作用 | 452 |
| 温度效应 | 454 |
| 单分子润滑剂膜的摩擦、寿命与润湿性 | 457 |
| 单分子层的磨损 | 460 |
| 高聚物的边界润滑作用 | 460 |
| 纱线润滑中的流体动力因素 | 463 |
| 因次分析 | 465 |
| 速度、粘度和初始张力的效应 | 466 |
| 骨节的润滑 | 468 |
| 混合润滑 | 470 |
| 参考文献 | 472 |
| 第十九章 润滑剂单分子层的结构与性质 | 474 |
| I. 吸附单分子层的结构和定向作用 | 474 |
| 在银及铂上的长链脂肪酸 | 474 |
| 加热的效应 | 477 |
| 长链胺类和醇类 | 478 |
| 全氟化的长链化合物 | 478 |
| 在活性金属上的长链脂肪酸 | 478 |
| 在银单晶上的长链脂肪酸 | 480 |
| 结构和定向作用 | 482 |
| II. 吸附单分子层的结构 | 483 |
| III. 润湿与接触角 | 486 |
| IV. 硬脂酸钙单分子层的剪切强度 | 488 |
| V. 单分子层的摩擦与电阻 | 491 |
| 参考文献 | 494 |
| 第二十章 光滑表面的粘着与表面能 | 496 |
| I. 粘着作用的热力学; 粘着剂的作用 | 496 |
| II. 分子平滑表面的粘着 | 501 |

XV

| | |
|--------------------------------|-----|
| I. 云母的表面能 | 503 |
| IV. 表面能的计算 | 509 |
| V. 表面力的作用范围 | 511 |
| 增补 | 524 |
| 参考文献 | 524 |
| 第二十一章 固体在高温下的机械性质与摩擦性质 | 528 |
| 高温炉 | 528 |
| I. 耐火金属的抗拉性能 | 529 |
| (a) 多晶体试样 | 529 |
| 抗拉强度测定仪与试样 | 529 |
| 温度对极限抗拉强度 (U. T. S.) 的影响 | 530 |
| 温度对屈服应力的效应 | 531 |
| 温度对断裂伸长率的效应 | 533 |
| 变形与断裂的形式 | 534 |
| (b) 单晶体 | 536 |
| I. 耐火材料的硬度 | 539 |
| 测量硬度的仪器 | 539 |
| 硬度随温度的变化 | 543 |
| 变形的形式 | 544 |
| II. 固体在高温下的摩擦性质 | 547 |
| 多晶耐火固体的摩擦 | 548 |
| 耐火固体单晶体的摩擦 | 551 |
| 耐火固体的摩擦机理 | 552 |
| 参考文献 | 553 |
| 第二十二章 在极高速度下的摩擦 | 555 |
| I. 实验技术 | 556 |
| 减速技术 | 557 |
| 冲击技术 | 560 |
| II. 在高速下金属的摩擦与磨损 | 562 |